

УДК 37.026.4

ПОСТРОЕНИЕ ГЕОМЕТРИЧЕСКИХ ФРАКТАЛОВ В СКМ MAPLEА.А. Агафонов¹¹ a.a.agathonov@gmail.com; Казанский (Приволжский) федеральный университет*Приведены примеры построения некоторых известных геометрических фракталов в СКМ Maple***Ключевые слова:** геометрические фракталы, программирование, СКМ Maple.

История фракталов началась с геометрических фракталов, которые исследовались математиками в 19 веке. Геометрические фракталы являются самыми наглядными, так как видна их самоподобная структура. В двухмерном случае их получают с помощью некоторой ломаной, называемой *генератором*. За один шаг алгоритма каждый из отрезков (*инициаторы*), составляющих ломаную, заменяется на ломаную-генератор, в соответствующем масштабе. В результате бесконечного повторения этой процедуры (*правило рекурсии*), получается геометрический фрактал. Примерами таких фракталов являются треугольник Серпинского, снежинка Коха, кривая Леви и многие другие. В графике геометрические фракталы применяются для получения изображений деревьев, кустов, береговых линий и т.д.

Кривая Леви

Чтобы получить Кривую Леви, на отрезке AB (инициатор) построим равнобедренный прямоугольный треугольник ACB так, чтобы угол $\angle ACB$ был прямым, после чего удалим гипотенузу (Рис. 1). Полученная ломаная линия из двух отрезков AC и CB представляет генератор, по которому строится Кривая Леви. Применяя генератор к каждому новому отрезку, получим вторую итерацию кривой, состоящее из 4 отрезков. Дальнейшее применяем генератор ко всем отрезкам кривой даст в пределе Кривую Леви.

Вычислим координаты точки C по координатам известных точек $A(x_A, y_A)$ и $B(x_B, y_B)$:

$$\begin{aligned}\overline{AC} &= \overline{AO} + \overline{OC}; \\ \overline{AB} &= (x_B - x_A, y_B - y_A); \quad \overline{AO} = \frac{1}{2}\overline{AB} = \frac{1}{2}(x_B - x_A, y_B - y_A); \\ |\overline{OC}| &= |\overline{AO}|, \quad \overline{OC} \perp \overline{AO} \Rightarrow \overline{OC} = \frac{1}{2}(-(y_B - y_A), x_B - x_A);\end{aligned}\tag{1}$$

$$C = \left(x_A + \frac{1}{2}(x_B - x_A) + \frac{1}{2}(-(y_B - y_A)), y_A + \frac{1}{2}(y_B - y_A) + \frac{1}{2}(x_B - x_A) \right)\tag{2}$$

В СКМ Maple удобно работать с координатами точек и компонентами векторов как со списками чисел. Тогда список координат точки C легко найти, используя формулу (2): $A=[x_A, y_A]$, $B=[x_B, y_B]$, $C=A+1/2*(B-A)+1/2*[-(y_B-y_A), x_B-x_A]$.

Построение фрактала будем производить рекурсивно: возьмем список, содержащий вложенные списки координат начальных точек кривой; переберем все элементы списка и между каждой парой точек вставим координаты точек, вычисленных по формуле (2); переберем полученный список и между каждой парой точек

вновь вставим новые точки; проделаем процедуру n раз:

$$[\dots, X_{i-1}, X_i, \dots] \rightarrow [\dots, X_{i-1}, Y, X_i, \dots].$$

Далее строим кривую, соединяя все точки списка попарно отрезками прямых.

```

1  _Levy:=proc(lst,n)
2  local shifted,temp,result,i:
3    if n=0 then
4      lst:
5    else
6      temp:=_Levy(lst,n-1):
7      result:=temp[1]:
8      for i from 2 to nops(temp) do
9        shifted:=temp[i-1]+1/2*(temp[i]-temp
          [i-1])+1/2*(-(temp[i]-temp[i-1]))
          [2],(temp[i]-temp[i-1])[1]):
10       result:=op(result),shifted,temp[i
          ]]:
11     end do:
12     result:
13   end if:
14 end proc:
15
16 > _Points:=[[0,0],[1,0]]:
17 result:=_Levy(Points,11):
18 display([seq(line(result[i],result[i+1],
          color=black),i=1..nops(result)-1)],
          scaling=constrained,axes=None);

```

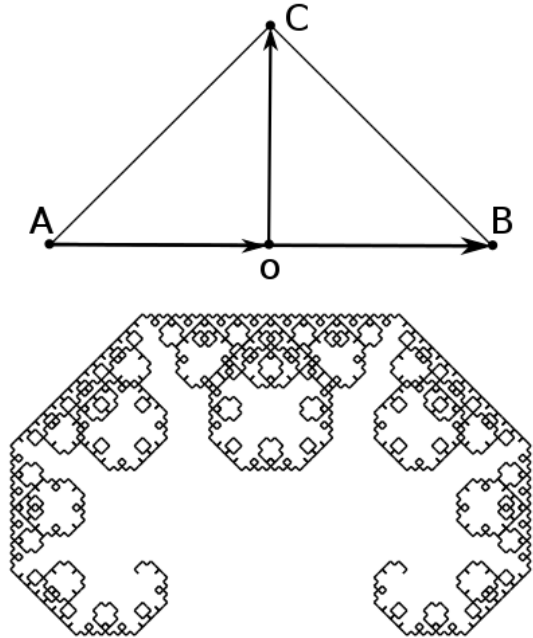


Рис. 1. Кривая Леви, 11 итераций.

Кривая Дракон Хартера-Хейтуэя

Если немного изменить генератор кривой Леви, то можно получить фрактал “Дракон Хартера-Хейтуэя”. Для этого необходимо вектор \overline{OC} каждой следующей пары точек поворачивать на угол π . Этого легко добиться, умножением компонент вектора \overline{OC} в формуле (2) на коэффициент $(-1)^i$, где i – порядковый номер сегмента кривой. Заменим 9-ую строку кода кривой Леви и получим кривую “Дракон Хартера-Хейтуэя” (Рис. 2).

```

9  shifted:=temp[i-1]+1/2*(temp[i]-temp[i-1])
    +(-1)^i*1/2*(-(temp[i]-temp[i-1]))[2],(
    temp[i]-temp[i-1])[1]:

```

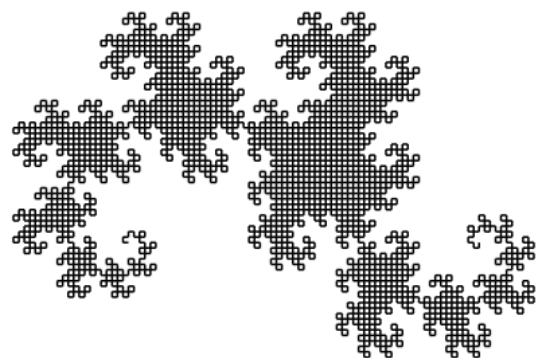


Рис. 2. Кривая Дракон, 12 итераций.

Снежинка Коха

Построение кривой начинается с отрезка AB (инициатор), $n = 0$. Далее отрезок заменяется на генератор $ACDEB$ (Рис. 3) – это кривая из четырех прямолинейных звеньев, каждое длиной по $\frac{1}{3}AB$, $n = 1$. Для получения каждой последующей итерации, все отрезки новой кривой заменяются генераторами. При n стремящемся к

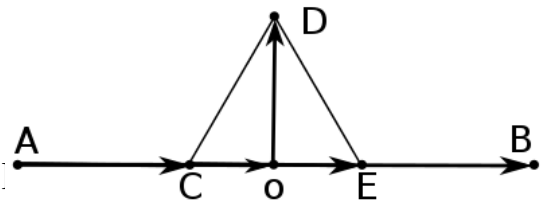
бесконечности кривая Коха становится фрактальным объектом.

Вычислим координаты всех необходимых точек генератора снежинки Коха:

$$\begin{aligned}
 \overline{AB} &= (x_B - x_A, y_B - y_A); & \overline{AO} &= \frac{1}{2}\overline{AB} = \frac{1}{2}(x_B - x_A, y_B - y_A); \\
 \overline{AC} &= \frac{1}{3}\overline{AB} = \frac{1}{3}(x_B - x_A, y_B - y_A); & \overline{AE} &= \frac{2}{3}\overline{AB} = \frac{2}{3}(x_B - x_A, y_B - y_A); \\
 |\overline{OD}| &= \frac{\sqrt{3}}{6}|\overline{AB}|, & \overline{OD} \perp \overline{AB} &\Rightarrow \overline{OD} = \frac{\sqrt{3}}{6}(-(y_B - y_A), x_B - x_A); \\
 C &= \left(x_A + \frac{1}{3}(x_B - x_A), y_A + \frac{1}{3}(y_B - y_A) \right); \\
 D &= \left(x_A + \frac{1}{2}(x_B - x_A) + \frac{\sqrt{3}}{6}(-(y_B - y_A)), y_A + \frac{1}{2}(y_B - y_A) + \frac{\sqrt{3}}{6}(x_B - x_A) \right); \\
 E &= \left(x_A + \frac{2}{3}(x_B - x_A), y_A + \frac{2}{3}(y_B - y_A) \right).
 \end{aligned} \tag{3}$$

Для построения кривой Коха нужно взять произвольный начальный отрезок или ломаную и рекурсивно для каждой пары точек списка вычислять и вставлять координаты промежуточных трех точек (формула (3)):

$$[\dots, X_{i-1}, X_i, \dots] \rightarrow [\dots, X_{i-1}, Y_1, Y_2, Y_3, X_i, \dots]$$



Чтобы построить кривую Коха, нужно изменить 9 и 10 строки программного кода процедуры построения кривой Леви на следующие:

```

9 | point1:=temp[i-1]+1/3*(temp[i]-temp[i-1]):
10 | point2:=temp[i-1]+1/2*(temp[i]-temp[i-1])+
    | sqrt(3.)/6*[-(temp[i]-temp[i-1])[2],(
    | temp[i]-temp[i-1])[1]]:
11 | point3:=temp[i-1]+2/3*(temp[i]-temp[i-1]):
12 | result:=[op(result),point1,point2,point3,
    | temp[i]]:

```

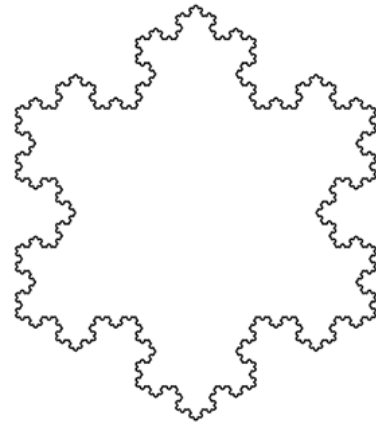


Рис. 3. Снежинка Коха, 5 итераций.

Снежинка

Для построения фрактальной снежинки необходимо построить k -лучевую звезду с центром в заданной точке (список `cntr` в программном коде) и длиной лучей равной r . Далее, конец каждого луча используется в качестве центра звезд следующего поколения, длина лучей которых меньше родительской. Получаем k штук звезд второго поколения. Далее на концах всех лучей всех звезд первого поколения строим звезды второго поколения и т.д. Ниже приведен программный код генерации фрактальной снежинки и пример трех итераций фрактала.

```

1 | _snowflake:=proc(cntr,r,k,n)
2 | global graph:
3 | local t,i,temp:
4 |   t:=2.*Pi/k;
5 |   for i from 1 to k do
6 |     temp:=[cntr[1]+r*cos(i*t),cntr[2]+r*sin(i*t)
7 |           ]:
8 |     graph:=[op(graph),line(cntr,temp)]:
9 |     if n>=1 then _snowflake(temp,.25*r,k,n-1)
10 |      end if:
11 |   end do:
12 | end proc:
13 | > cntr:=[0,0]:
14 | graph:=[]:
15 | _snowflake(cntr,10.,8,3):
16 | display(graph,scaling=constrained,axes=none);

```

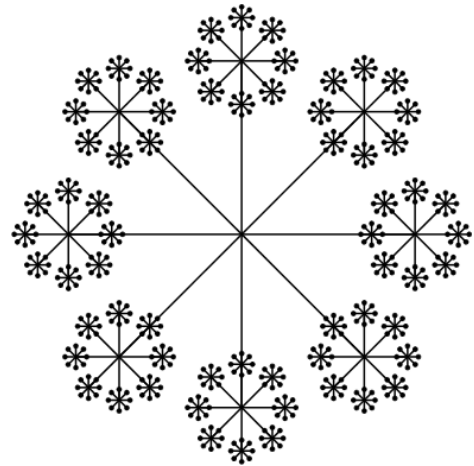


Рис. 4. Фрактальная снежинка, 3 итерации.

Дерево Пифагора

Для построения Дерева Пифагора используется генератор в виде прямоугольного треугольника с квадратом на гипотенузе. Применяя этот генератор к самому себе, получим первую итерацию с двумя новыми треугольниками. Продолжая процесс, получим новые поколения, для которых количество треугольников увеличивается каждый в два раза. В пределе этого процесса «вырастет» Дерево Пифагора.

Сначала рассмотрим процедуру построения одного квадрата по координатам вершины *A* (список *cnr* в программном коде), длине стороны *AB* (*side*) и углу поворота α (*angle*) стороны *AB* вокруг вершины *A*. Ниже приведены процедура и поясняющий рисунок.

```

1 | DrawRect:=proc(cnr,side,angle)
2 | local cnr2,cnr3,cnr4,line1,line2,
3 |   line3,line4:
4 |   cnr2:=cnr+side*[cos(angle),sin(
5 |     angle)]:
6 |   cnr3:=cnr+sqrt(2.)*side*[cos(angle
7 |     -Pi/4),sin(angle-Pi/4)]:
8 |   cnr4:=cnr+side*[cos(angle-Pi/2),
9 |     sin(angle-Pi/2)]:
10 |   line1:=line(cnr,cnr2):
11 |   line2:=line(cnr2,cnr3):
12 |   line3:=line(cnr3,cnr4):
13 |   line4:=line(cnr4,cnr):
14 |   line1,line2,line3,line4:
15 | end proc:

```

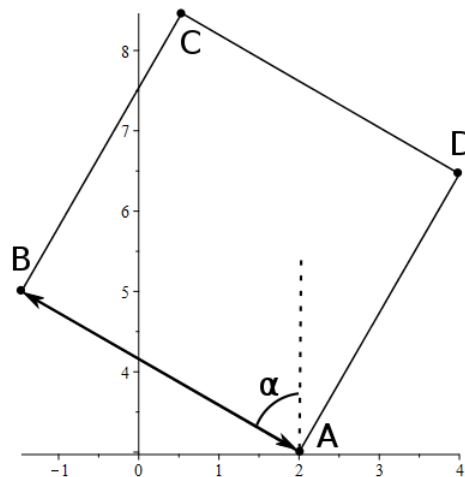


Рис. 5. К построению дерева Пифагора.

Теперь задача построения дерева Пифагора сводится к рекурсивному построению потомков по известным параметрам родительского квадрата. Приведем программный код построения симметричного дерева Пифагора (Рис. 6).

```

1 | _PythagorasTree:=proc(cnr,side,angle,n)

```

```

2 global graph:
3 graph:=[]op(graph),DrawRect(crnr,side,angle)]:
4 if n>=1 then
5   _PythagorasTree(crnr+side*[cos(angle),sin(angle)],side/sqrt(2.),angle+Pi/4.,n-1):
6   _PythagorasTree(crnr+side*[cos(angle),sin(angle)]+side/sqrt(2.)*[cos(angle-Pi/4.)
7     ,sin(angle-Pi/4.)],side/sqrt(2.),angle-Pi/4.,n-1):
8 end if:
9 end proc:

```

При использовании неравнобедренного треугольника в качестве генератора, получим несимметричное дерево Пифагора (Рис. 7).

```

5 _PythagorasTree(crnr+side*[cos(angle),sin(angle)],side*sqrt(3.)/2.,angle+Pi/6.,n-1)
6 :
7 _PythagorasTree(crnr+side*[cos(angle),sin(angle)]+side*sqrt(3.)/2.*[cos(angle-Pi
8   /3.),sin(angle-Pi/3.)],side/2.,angle-Pi/3.,n-1):

```

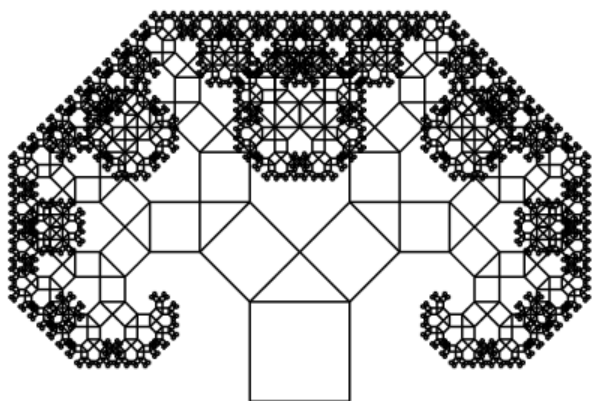


Рис. 6. Дерево Пифагора, 10 итераций.

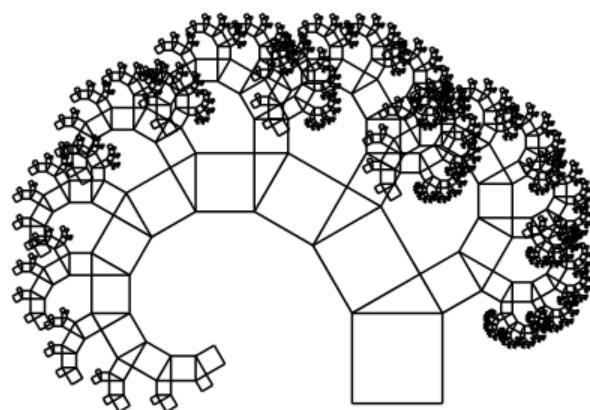


Рис. 7. Дерево Пифагора, 10 итераций.

Фрактальное дерево

Рассмотрим генерацию фрактального дерева. Для построения одного сегмента дерева необходимо построить отрезок по координатам начала отрезка (список `root` в программном коде), длине отрезка (`side`) и углу поворота (`angle`) отрезка. Далее строим два потомка меньшей длины из конца родительского отрезка. В примере ниже один потомок отклоняется от направления родительского сегмента на угол $\pi/4$ против хода часовой стрелки, другой – на угол $\pi/6$ по ходу. Рекурсивно повторяем процедуру (Рис. 8).

Во втором примере потомки отклоняются на случайные углы в диапазоне $[0, \pi/4]$ от направления родительского сегмента, и длины потомков выбираются случайно в диапазоне $[0.65, 0.95]$ длины родительского сегмента (Рис. 9).

```

1 _tree:=proc(root,side,angle,n)
2 global graph:
3 local temp:
4   temp:=root+side*[cos(angle),sin(
5     angle)]:
6   graph:=[op(graph),line(root,temp)]:
7   if n>=1 then
8     _tree(temp,.7*side,angle+Pi/4.,n
9       -1):
10    _tree(temp,.7*side,angle-Pi/6.,n
11      -1):
12  end if:
13 end proc:

```

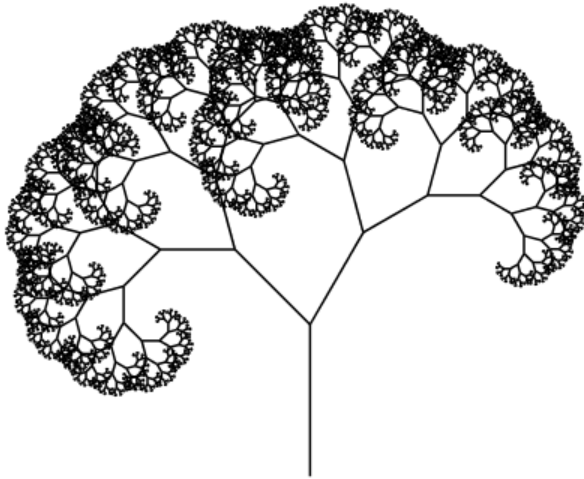


Рис. 8. Фрактальное дерево с фиксированными углами отклонения потомков.

```

1 randomize:
2 Deflection:=rand(0...1000)/1000*Pi/4.:
3 Scale:=rand(0...1000)/1000*.3+.65:
4 _tree:=proc(root,side,angle,n)
5 global graph:
6 local temp:
7   temp:=root+side*[cos(angle),sin(
8     angle)]:
9   graph:=[op(graph),line(root,temp)]:
10  if n>=1 then
11    _tree(temp,Scale()*side,angle+
12      Deflection(),n-1):
13    _tree(temp,Scale()*side,angle-
14      Deflection(),n-1):
15  end if:
16 end proc:

```

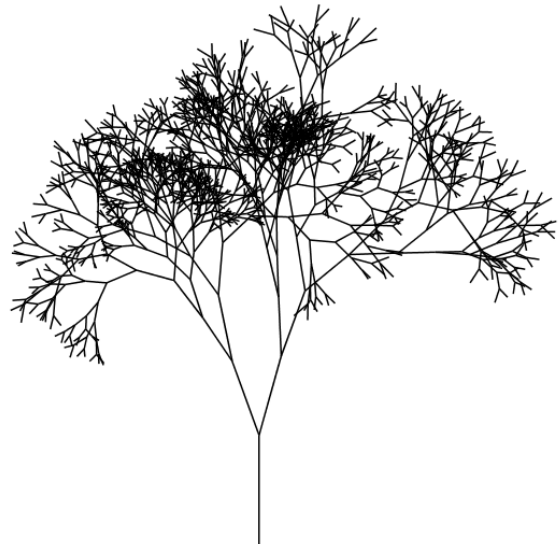


Рис. 9. Фрактальное дерево со случайными углами отклонения потомков.

Рассмотрим процедуру построения фрактального дерева, в котором каждое следующее поколение сегментов отличается от родителей по толщине и расцветке. Углы поворота и длины потомков также выбираются случайным образом (Рис. 10).

```

1 randomize:
2 Deflection:=rand(0...1000)/1000*Pi/3.:
3 Scale:=rand(0...1000)/1000*.3+.6:
4 _tree:=proc(root,side,angle,n)
5 global graph:
6 local temp:
7 if side > 1.8 then
8   temp:=root+side*[cos(angle),sin(angle)]:
9   graph:=[op(graph),line(root,temp,color=COLOR(RGB,0,1-7/n,0),thickness=trunc(1+6/
10     sqrt(n)))]:
11   _tree(temp,Scale()*side,angle+(Pi/10.+Deflection()*n/15),n+1):
12   _tree(temp,Scale()*side,angle-(Pi/10.+Deflection()*n/15),n+1):

```

```

12 | end if:
13 | end proc:
14 |
15 | > cntr:=[0,0]:
16 | graph:=[]:
17 | _tree(cntr,80.,Pi/2.,1):
18 | display(graph,scaling=constrained,axes=None);

```

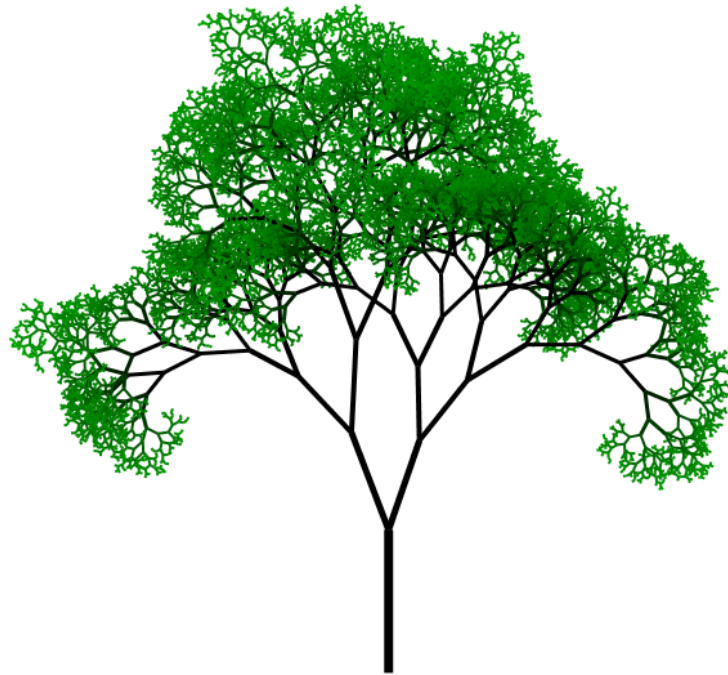


Рис. 10. Фрактальное дерево.

В заключении приведем без объяснения программный код построения фрактальной ветки (Рис. 11) и фрактального папоротника (Рис. 12).

Фрактальная ветка

```

1 | _branch:=proc(root,side,angle,n)
2 | global graph:
3 | local end1,end2,end3,root2,root3:
4 |   end1 :=root +side*[cos(angle),sin(angle)]:
5 |   root2:=root +1/6*side*[cos(angle),sin(angle)]:
6 |   end2 :=root2+1/3*side*[cos(angle+Pi/6.),sin(angle+Pi/6.)]:
7 |   root3:=root +1/6*side*[cos(angle),sin(angle)]:
8 |   end3 :=root3+1/3*side*[cos(angle-Pi/6.),sin(angle-Pi/6.)]:
9 |   graph:=[op(graph),line(root,end1),line(root2,end2),line(root3,end3)]:
10 |  if n>=1 then
11 |    _branch(end1,.7*side,angle,n-1):
12 |    _branch(end2,.5*side,angle+Pi/6.,n-1):
13 |    _branch(end3,.5*side,angle-Pi/6.,n-1):
14 |  end if:

```

```

15 end proc:
16
17 > cntr:=[0,0]:
18 graph:=[]:
19 _branch(cntr,80.,Pi/2.,0):
20 display(graph,scaling=constrained,axes=None);

```

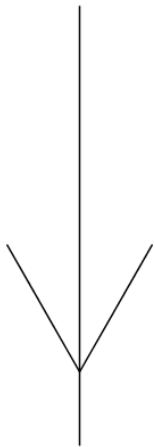


Рис. 11. Фрактальная ветка.

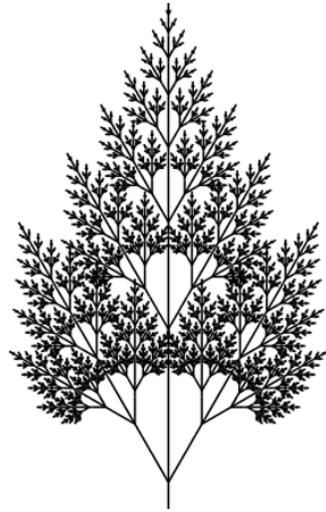
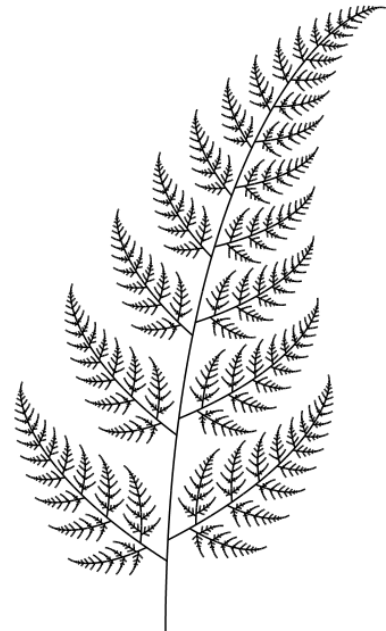


Рис. 12. Фрактальный папоротник.



Фрактальный папоротник

```

1 branch:=proc(root,l,angle,sym)
2 global graph:
3 local t1,t2,t3,r,r_,rotMatr,dr1,dr2,dr3:
4   t1:=.1:
5   t2:=.13:
6   t3:=.2:
7   r := [-.1411189523*cos(3.+4*t)+0.10665e-5-.9899926471*sin(3.+4*t),
8         -.9899926471*cos(3.+4*t)-1.0000000000+.1411189523*sin(3.+4*t)];
9   rotMatr:=array(1..2,1..2,[[cos(angle),-sin(angle)],[sin(angle),cos(angle)]]):
10  r_:=root+l*sym*convert(evalm(rotMatr&*subs(t=sym*t,r)),list):
11  graph:=[op(graph),plot([op(r_),t=0..t3],color=black)];
12  dr1:=evalf(subs(t=t1,diff(r_,t)),5):
13  dr2:=evalf(subs(t=t2,diff(r_,t)),5):
14  dr3:=evalf(subs(t=t3,diff(r_,t)),5):
15  evalf([
16    subs(t=t1,r_),
17    sign(dr1[2])*arccos(dr1[1]/sqrt(dr1[1]^2+dr1[2]^2)),
18    subs(t=t2,r_),
19    sign(dr2[2])*arccos(dr2[1]/sqrt(dr2[1]^2+dr2[2]^2)),
20    subs(t=t3,r_),
21    sign(dr3[2])*arccos(dr3[1]/sqrt(dr3[1]^2+dr3[2]^2))
22  ]);
23 end proc:

```



```
23 |
24 | _fern:=proc(root,side,angle,sym)
25 | global graph:
26 | local temp:
27 |   if side > 1 then
28 |     temp:=branch(root,side,angle,sym):
29 |     _fern(temp[1],.35*side,temp[2]+sym*Pi/3.,sym):
30 |     _fern(temp[3],.35*side,temp[4]-sym*Pi/3,-sym):
31 |     _fern(temp[5],.8*side,temp[6],sym):
32 |   end if:
33 | end proc:
34 |
35 | > center:=[0,0]:
36 | graph:=[]:
37 | _fern(center,150.,Pi/2.,1);
38 | display(graph,scaling=constrained,axes=none);
```

Литература

1. Кирсанов М.Н. Maple и Maplet. Решения задач механики. Учебное пособие/ М.Н. Кирсанов. – СПб: Лань, 2012. – 512 с.

GEOMETRIC FRACTALS CONSTRUCTION IN CAS MAPLE

A.A. Agathonov

Examples of constructing some known geometric fractals in the CAS Maple are given.

Keywords: geometric fractals, programming, CAS Maple.

УДК 378.147

ИСПОЛЬЗОВАНИЕ СИСТЕМ КОМПЬЮТЕРНОЙ МАТЕМАТИКИ В РЕШЕНИИ ЗАДАЧ ТЕНЗОРНОГО АНАЛИЗА

А.В. Букушева¹

¹ *bukusheva@list.ru*; Саратовский национальный исследовательский государственный университет имени Н.Г. Чернышевского

Рассматривается применение системы Wolfram Mathematica в решении задач тензорного анализа.

Ключевые слова: бакалавриат, Wolfram технологии, компьютерная геометрия, тензорный анализ.

Компьютерные технологии становятся регулярной, обязательной частью математического образования. Повышение качества процесса обучения математике обеспечивается за счет реализации дидактических возможностей информационных и коммуникационных технологий: автоматизации информационно-поисковой и вычислительной деятельности; моделирование, виртуальное представление на экране изучаемых математических объектов; расширения самостоятельной деятельности в условиях использования систем компьютерной математики (С.С. Кравцов, Л.П. Мартиросян, И.В. Роберт и др.).